

# ВЛИЯНИЕ ДОБАВОК Sn НА ЭЛЕКТРОФИЗИЧЕСКИЕ СВОЙСТВА И СВЕРХПРОВОДЯЩИЙ ПЕРЕХОД В $(\text{PbTe})_{0.95}(\text{PbS})_{0.05}\text{:Tl}$

© С.А.Немов, Ф.С.Насрединов, Р.В.Парфеньев,  
М.К.Житинская, А.В.Черняев, Д.В.Шамшур

Санкт-Петербургский государственный технический университет,  
195251 Санкт-Петербург, Россия

(Поступила в Редакцию 25 апреля 1995 г.

В окончательной редакции 14 июля 1995 г.)

Исследовано влияние добавок SnTe (до 3 mol.%) к твердому раствору  $(\text{PbTe})_{0.95}(\text{PbS})_{0.05}$ , легированному 2 at.% Tl, на кинетические коэффициенты удельной электропроводности, Холла, Зеебека, поперечного эффекта Нернста-Эттинггуса в диапазоне температур 77–400 K и сверхпроводящий переход (при  $T = 0.4$ –4.2 K). Исследованы также мессбауэровские спектры олова при 80 K и комнатной температуре. Установлено, что в исследованных твердых растворах сохраняются характерные особенности в кинетических коэффициентах, связанные с существованием квазилокальных примесных состояний Tl, расположенных на фоне разрешенного спектра приблизительно на 0.2 eV ниже  $L$ -вершины валентной зоны при низких температурах, и резонансного рассеяния дырок в эти состояния. Показано, что добавки SnTe и PbS к PbTe:Tl аддитивно влияют на параметры резонансных состояний Tl и температуру сверхпроводящего перехода. Не обнаружено проявлений электрической активности Sn. По мессбауэровским данным, атомы олова находятся в состоянии  $\text{Sn}^{2+}$ , образуя четверной твердый раствор  $\text{Pb}_{1-x}\text{Sn}_x\text{Te}_{0.95}\text{S}_{0.05}$ .

Легирование халькогенидов свинца таллием сопровождается образованием полосы квазилокальных (резонансных) примесных состояний Tl, расположенных на фоне разрешенного спектра валентной зоны [1]. Существование полосы квазилокальных состояний Tl с высокой плотностью состояний (пропорциональной концентрации введенного таллия  $N_{\text{Tl}}$ ) приводит к появлению ряда новых физических явлений, таких как пиннинг уровня Ферми  $\varepsilon_F$  [1,2], резонансное рассеяние дырок в квазилокальные состояния Tl [3], сверхпроводимость в полупроводниковых материалах на основе PbTe:Tl с критической температурой  $T_c \geq 1$  K [4–6] и др. Изовалентная примесь Sn также ведет себя в халькогенидах свинца необычным образом. В PbS и PbSe в присутствии глубокого акцептора (Tl, Na) обнаружена электрическая активность Sn, при этом олово ведет себя как донор, дающий два электрона на атом [7,8].

Представляет интерес изучение влияния двойного легирования Tl и Sn на различные физические свойства (включая сверхпроводимость) полупроводниковых соединений на основе  $A^{IV}B^{VI}$ .

В качестве объекта исследования был выбран твердый раствор  $(PbTe)_{0.95}(PbS)_{0.05}$ , одновременно легированный Tl и Sn. При выборе конкретного состава материала учитывались следующие обстоятельства. Во-первых, в PbTe электрическая активность олова не обнаружена [9], но исходя из данных [7], ее появление можно ожидать в твердых растворах PbTe-PbS. Во-вторых, сверхпроводимость с критической температурой  $T_c \sim 1\text{ K}$  наблюдалась ранее [6] лишь в твердых растворах  $(PbTe)_{1-x}(PbS)_x$ , легированных 2 at.% Tl, с содержанием PbS  $x \lesssim 0.1$ . Кроме того, учитывалось сильное понижение  $T_c$  в PbTe:Tl при введении Sn [10] до 1 at.%.

## 1. Методика приготовления образцов

Исследования выполнены на поликристаллических образцах, изготовленных металлокерамическим методом (аналогично были изготовлены образцы в ранее выполненных исследованиях [1–10]). Синтез слитков проводился сплавлением в вакууме исходных компонентов полупроводниковой чистоты. После измельчения слитков (размер зерна  $d \lesssim 0.1\text{ mm}$ ) с помощью прессовки приготавливались образцы в форме параллелепипеда (размером  $4 \times 4 \times 20\text{ mm}$ ), которые в дальнейшем отжигались в вакууме при температуре  $650^\circ\text{C}$  в течение 120 h. Содержание акцепторной примеси Tl (замещающей атомы металла в катионной подрешетке соединений  $A^{IV}B^{VI}$ ) было фиксированным и составляло 2 at.%. Для возможности проведения мессбауэровских исследований примесь олова до 3 at.% вводилась в виде изотопа  $^{119}\text{Sn}$ . Состав исследованных образцов соответствовал химической формуле  $(Pb_{0.98-x}Tl_{0.02}Sn_x)\text{Te}_{0.95}S_{0.05}$  ( $x = 0.005, 0.010, 0.030$ ).

## 2. Электрофизические свойства

Были проведены измерения основных кинетических коэффициентов (удельной электропроводности  $\sigma$ , Холла  $R$ , Зеебека  $S$  и поперечного эффекта Нернста–Эттингсгаузена  $Q$ ) в диапазоне температур 77–400 K. Сопоставление полученных результатов с данными для PbTe:Tl при одинаковом содержании таллия  $N_{\text{Tl}} = 2\text{ at.\%}$  [2,3,5,10–12] показывает, что температурные зависимости коэффициентов  $\sigma$ ,  $R$  и  $S$  подобны тем же зависимостям в PbTe:Tl и имеют близкие численные значения (поэтому на рисунках они не приведены). Основные электрофизические параметры образцов представлены в табл. 1.

Таблица 1

Электрофизические параметры образцов  $(PbTe)_{0.95}(PbS)_{0.05}:\text{Tl}, \text{Sn}$

Номер п/п	$N_{\text{Sn}}$ , at.%	$u(77\text{ K})$ , $\text{cm}^2/\text{V} \cdot \text{s}$	$p$ , $10^{19} \text{ cm}^{-3}$	$u(300\text{ K})$ , $\text{cm}^2/\text{V} \cdot \text{s}$	$R_{300}/R_{77}$	$u_{300}/u_{77}$
1	0.5	26	8.2	22	0.93	0.85
2	1.0	26	8.6	22	1.00	0.85
3	3.0	24	14	13	1.09	0.54

Как и в PbTe:Tl, в твердых растворах концентрации дырок, определенные из значения  $R$  при 77 К по формуле  $p = (eR)^{-1}$ , имеют значения, близкие к  $1 \cdot 10^{20} \text{ см}^{-3}$ . Холловская подвижность  $u = R\sigma$  ( $\approx 10-30 \text{ см}^2/\text{V} \cdot \text{s}$ ) и коэффициента Холла в отличие от  $p$ -PbTe:Na [13] слабо зависят от температуры (табл. 1). Эти данные согласуются с представлениями о резонансном рассеянии дырок в полосе квазикомпактных состояний Tl, расположенную на фоне разрешенных состояний валентной зоны твердого раствора  $(\text{PbTe})_{0.95}(\text{PbS})_{0.05}:\text{Tl}$ . Отметим, что сильное резонансное рассеяние испытывают не только легкие, но и тяжелые дырки [2,3], так что отношение их подвижностей  $b = u_l/u_h$  становится близким к единице, что и вызывает значительное ослабление температурной зависимости коэффициента Холла в отличие от  $R(T)$  в образцах  $p$ -PbTe:Na с такими же концентрациями дырок, для которых характерна сильная зависимость коэффициента Холла от температуры ( $R_{300}/R_{77} \approx 2$ ), связанная с увеличением вклада в явления переноса зоны тяжелых дырок при увеличении температуры [13].

Более подробно рассмотрим данные по эффекту Нернста-Эттинггаузена. Как видно из рис. 1, в исследованных образцах твердого раствора коэффициент Нернста-Эттинггаузена  $Q$  при низких температурах ( $T \approx 100$  К) близок к нулю. При более высоких температурах ( $T > 150$  К)  $Q$  становится отрицательным, нернстовская подвижность достигает значений  $|Qe/k_0| \approx 20 \text{ см}^2/\text{V} \cdot \text{s}$  ( $k_0$  — постоянная Больцмана).

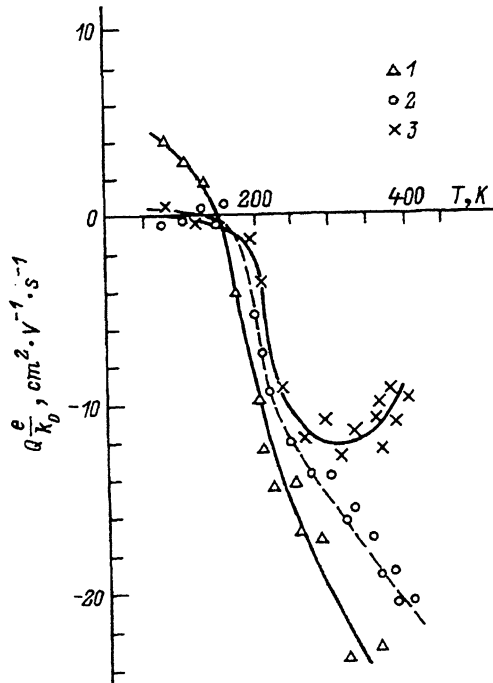


Рис. 1. Температурные зависимости коэффициента поперечного эффекта Нернста-Эттинггаузена  $Q \cdot e / k_0$  в образцах  $\text{Pb}_{1-x}\text{Sn}_x\text{Te}_{0.95}\text{S}_{0.05}$ , легированных 2 at.% Tl.

x: 1 — 0.005, 2 — 0.010, 3 — 0.030.

В простейшем случае величина коэффициента  $Q$  в условиях сильного вырождения газа носителей тока с энергией Ферми  $\epsilon_F$  определяется выражением

$$Q = \frac{k_0 \pi^2 k_0 T}{e 3 \epsilon_F} R \sigma (\partial \ln \tau / \partial \ln \epsilon) \Big|_{\epsilon_F}, \quad (1)$$

где  $\tau(\epsilon)$  — энергетическая зависимость времени релаксации. Таким образом, величина нернстовской подвижности  $|Qe/k_0|$  определяется как величиной холловской подвижности  $R\sigma$ , так и величиной производной  $(\partial \ln \tau / \partial \ln \epsilon)|_{\epsilon_F}$ . Подвижность носителей в условиях сильного резонансного рассеяния невелика. В образцах PbTe с  $p \approx 1 \cdot 10^{20} \text{ см}^{-3}$  и  $N_{\text{Tl}} \approx 2 \text{ at.\%}$  она имеет типичные значения (экспериментальные в лучших образцах и расчетные)  $R\sigma \approx 100 \text{ см}^2/\text{V} \cdot \text{s}$ . Величина и знак производной  $(\partial \ln \tau / \partial \ln \epsilon)|_{\epsilon_F}$  существенно зависят от степени заполнения  $k_h$  полосы резонансных состояний Tl дырками, которую можно оценить из уравнения электронейтральности материала. С учетом наличия в примесной полосе двух электронных состояний на атом Tl [2]

$$k_h = 0.5 - p/2N_{\text{Tl}}, \quad (2)$$

где  $p$  — полная концентрация дырок в валентной зоне.

Сделанная по формуле (2) оценка степени заполнения примесных состояний Tl дает значение  $k_h \approx 1/3$ . Учет образования дополнительного количества собственных акцепторных дефектов (вакансий в катионной подрешетке) в образцах твердого раствора за счет введения добавок SnTe несколько увеличит величину  $k_h$ , но, судя по характеру температурной зависимости коэффициента Холла, полоса Tl заполнена дырками меньше чем наполовину (как показано в [2], при низких температурах  $dR/dT \sim 0.5 - k_h$ ). При значениях  $1/4 < k_h < 1/2$  и доминирующей роли резонансного рассеяния производная  $(\partial \ln \tau / \partial \ln \epsilon)|_{\epsilon_F} < 0$  и может иметь весьма малые значения в исследованных образцах. Дело в том, что в условиях доминирующего резонансного рассеяния время релаксации дырок  $\tau(\epsilon) \approx \tau_{\text{res}}(\epsilon) \sim g_{\text{Tl}}(\epsilon)$  [3, 14]. Согласно данным [14], для образцов PbTe, легированных 2 at.% Tl, плотность резонансных состояний таллия  $g_{\text{Tl}}(\epsilon)$  в зависимости от энергии  $\epsilon$  имеет вид колоколообразной кривой с почти плоской вершиной.

Таким образом, в условиях сильного резонансного рассеяния коэффициент Нернста-Эттинггаузена чрезвычайно мал. В этом случае величина коэффициента  $Q$  оказывается особенно чувствительной к различным неоднородностям [15], возникающим из-за флуктуаций состава твердого раствора и распределения примесей, наличие которых естественно ожидать, учитывая сложный состав наших образцов. В связи с этим становятся понятными наблюдаемые в эксперименте колебания величины  $Q$  вблизи нуля при низких температурах.

Как отмечалось выше, в твердых растворах PbTe<sub>0.95</sub>Sn<sub>0.05</sub>:Tl, как и в других халькогенидах свинца [1], осуществляется режим стабилизации концентрации дырок и уровня Ферми. Поэтому для проверки предположения о возможной электрической активности Sn необходимо вводить олово в шихту образцов в количестве, заметно превосходящем содержание Tl (2 at.% в наших образцах). В связи с этим были изготовлены и исследованы образцы, содержащие 3 at.% Sn. Кинетические

коэффициенты в этих образцах близки к их значениям в остальных образцах твердого раствора, подобны и их температурные зависимости. Только в образце состава  $(\text{Pb}_{0.95}\text{Sn}_{0.03}\text{Tl}_{0.02})\text{Te}_{0.95}\text{S}_{0.05}$  концентрация дырок составила  $1.4 \cdot 10^{20} \text{ cm}^{-3}$ , что несколько выше, чем в других образцах с меньшим содержанием Sn. Тем не менее ее значение практически не выходит за пределы области стабилизации концентрации дырок в  $p$ -PbTe с 2 at.% Tl [2]. Это означает, что в твердом растворе  $(\text{PbTe})_{0.95}(\text{PbS})_{0.05}:\text{Tl}$  с добавками Sn не наблюдается проявлений электрической активности олова.

### 3. Эффект Мессбауэра

Абсорбционные мессбауэровские спектры  $^{119}\text{Sn}$  снимались при 80 К и комнатной температуре на промышленном спектрометре СМ 2201. В качестве стандартного источника использовался  $\text{Ca}^{119m}\text{SnO}_3$ . Исследуемые образцы, легированные оловом, служили поглотителями. За аппаратурную ширину спектральной линии  $^{119}\text{Sn}$  принималась ширина спектра указанного источника с поглотителем  $\text{CaSnO}_3$ :  $\Gamma_{app} = 0.76(2) \text{ mm/s}$ .

В мессбауэровских спектрах образцов твердого раствора с содержанием олова 1 и 3 at.% наблюдается только одна линия с изомерным сдвигом 3.5 mm/s относительно  $\text{SnO}_2$  (рис. 2), характерным для двухвалентного олова  $\text{Sn}^{+2}$ . Это означает, что все атомы олова находятся в нейтральном относительно катионной подрешетки состоянии (свинец в твердых растворах на основе  $\text{A}^{\text{IV}}\text{B}^{\text{VI}}$  является двухвалентным).

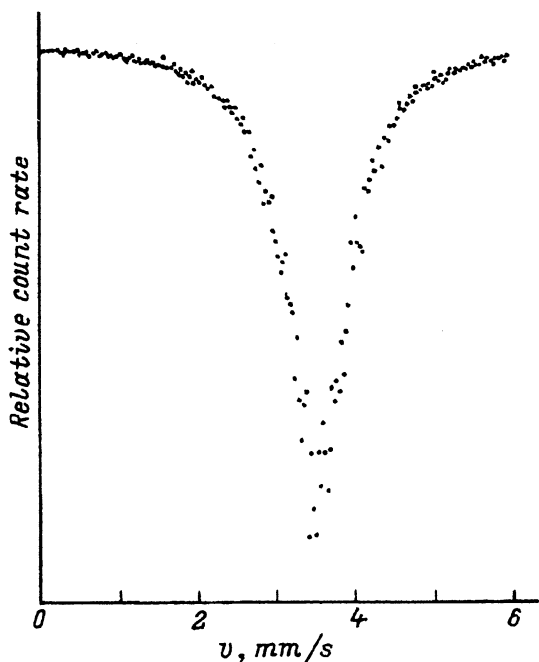


Рис. 2. Мессбауэровский спектр образца  $\text{Pb}_{0.95}\text{Sn}_{0.03}\text{Tl}_{0.02}\text{Te}_{0.95}\text{S}_{0.05}$  при комнатной температуре.

По-видимому, электронные состояния олова располагаются достаточно глубоко под уровнем Ферми и потому не могут изменить своего зарядового состояния. Таким образом, данные по эффекту Мессбауэра подтверждают сделанный из анализа явлений переноса вывод об отсутствии электрической активности Sn в исследованном твердом растворе.

#### 4. Сверхпроводящие свойства

Измерялась температурная зависимость удельного сопротивления образцов  $\rho(T)$  в диапазоне температур 0.4–4.2 K в отсутствие и при наличии магнитного поля  $H$  до 14 kOe. Критические параметры  $T_c$  и  $H_{C2}$  определялись из условия  $\rho = 0.5\rho_N$ , ( $\rho_N$  — удельное сопротивление образцов в нормальном состоянии).

Основные результаты приведены на рис. 3 и в табл. 2. Полученные данные для твердого раствора на первый взгляд представляются несколько неожиданными. Все исследованные образцы, включая образец, содержащий 3 at.% олова, перешли в сверхпроводящее состояние с критической температурой, несколько превышающей  $T_c$  в PbTe:Tl,Sn (табл. 2).

Наблюдаемое различие в сверхпроводящих свойствах образцов PbTe:Tl,Sn и  $(\text{PbTe})_{0.95}(\text{PbS})_{0.05}\text{Tl},\text{Sn}$  можно объяснить, если учесть решающую роль резонансных состояний Tl в возникновении сверхпроводимости в материалах на основе PbTe:Tl [5] и противоположный характер влияния добавок SnTe [10] и PbS [16] на энергетическое положение примесной полосы Tl.

Добавки PbS к PbTe:Tl незначительно смещают полосу резонансных состояний Tl к  $L$ -вершине валентной зоны (от  $\varepsilon_{Tl} \approx 0.20$  eV в PbTe [3] до  $\varepsilon_{Tl} \approx 0.15$  eV в PbS [16] при  $T = 77$  K). Добавки же Sn (в виде SnTe) к PbTe:Tl приводят к довольно быстрому смещению примесных состояний Tl в глубь валентной зоны со скоростью  $d(\varepsilon_{Tl} - \varepsilon_\Sigma)/dx \approx 1$  eV [9] относительно дополнительного экстремума валентной зоны в  $\Sigma$ -точке зоны Бриллюэна.

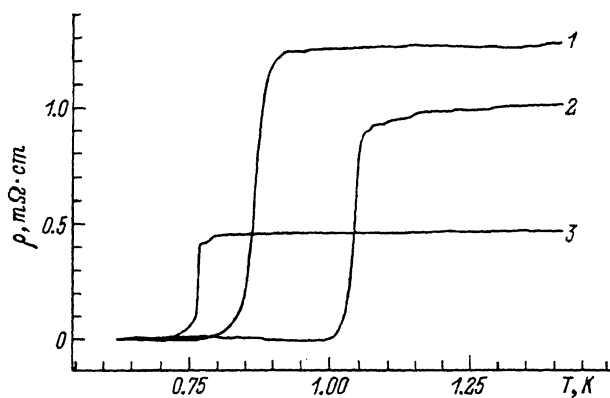


Рис. 3. Температурная зависимость удельного сопротивления образцов  $\text{Pb}_{1-x}\text{Sn}_x\text{Te}_{0.95}\text{S}_{0.05}$ , легированных 2 at.% Tl.  
x: 1 — 0.005, 2 — 0.010, 3 — 0.030.

Таблица 2

Сверхпроводящие свойства образцов  $(\text{PbTe})_{0.95}(\text{PbS})_{0.05}:\text{Tl}, \text{Sn}$ 

Номер п/п	$x$	$(\text{Pb}_{0.98-x}\text{Tl}_{0.02}\text{Sn}_x)\text{Te}_{0.95}\text{S}_{0.05}$				$\text{Pb}_{0.98-x}\text{Tl}_{0.02}\text{Sn}_x\text{Te}$ [10]		
		$T_c$ , К	$\Delta T_c$ , К	$ \partial H_{c2}/\partial T _{T_c}$ , kOe/K	$\rho_N$ , $\text{m}\Omega\cdot\text{cm}$	$T_c$ , К	$ \partial H_{c2}/\partial T _{T_c}$ , kOe/K	$p(77 \text{ K})$ , $10^{19} \text{ cm}^{-3}$
1	0	1.10	0.10	3.4	2.00	1.5	6.3	11
2	0.005	0.87	0.06	3.7	1.26	0.94	3.6	9.8
3	0.01	1.04	0.05	5.0	1.02	0.48	3.6	10
4	0.03	0.77	0.03	5.9	0.46	-	-	13

При небольших добавках PbS и SnTe к PbTe:Tl, по-видимому, происходит взаимная компенсация этих факторов. В результате положение уровня Ферми  $\varepsilon_F$  и полосы резонансных состояний Tl ( $\varepsilon_{\text{Tl}}$ ) относительно краев валентных зон в  $L$ - и  $\Sigma$ -точках зоны Бриллюэна в твердом растворе  $(\text{Pb}_{0.95}\text{Sn}_{0.03}\text{Tl}_{0.02})\text{Te}_{0.95}\text{S}_{0.05}$  оказывается приблизительно таким же, как и в PbTe:Tl, и потому становится возможным наблюдение сверхпроводящего перехода в образце, содержащем 3 at.% Sn.

Таким образом, в твердых растворах  $\text{Pb}_{1-x}\text{Sn}_x\text{Te}_{0.95}\text{S}_{0.05}$ , легированных Tl, наблюдаются основные характерные особенности в кинетических коэффициентах, связанные с заполнением полосы квазилокальных примесных состояний Tl, расположенных на фоне разрешенного спектра валентной зоны ( $\varepsilon_{\text{Tl}} \approx 0.2 \text{ eV}$  при низких температурах), и резонансным рассеянием дырок в эти состояния. Сверхпроводящие свойства твердых растворов свидетельствуют об аддитивном характере влияния добавок PbS и SnTe к PbTe:Tl на параметры примесных состояний Tl и степень их заполнения.

Полученные в работе данные по явлениям переноса и мессбауэровские спектры свидетельствуют об отсутствии электрической активности Sn в исследованном твердом растворе. Атомы Sn находятся внейтральном относительно катионной подрешетки состояния  $\text{Sn}^{+2}$ , образуя, видимо, четверной твердый раствор  $\text{Pb}_{1-x}\text{Sn}_x\text{Te}_{0.95}\text{S}_{0.05}$ .

Работа выполнена при финансовой поддержке Российского фонда фундаментальных исследований (грант № 95-02-03863-а).

## Список литературы

- [1] Кайданов В.И., Немов С.А., Равич Ю.И. ФТП **26**, 2, 201 (1992).
- [2] Кайданов В.И., Немов С.А., Равич Ю.И., Зайцев А.М. ФТП **17**, 9, 1613 (1983).
- [3] Кайданов В.И., Немов С.А. ФТП **15**, 3, 542 (1981).
- [4] Черник И.А., Лыков С.Н. Письма в ЖТФ **7**, 2, (1981).
- [5] Кайданов В.И., Немов С.А., Парfenьев Р.В., Шамшур Д.В. Письма в ЖЭТФ **35**, 12, 517 (1982).
- [6] Житинская М.К., Немов С.А., Парfenьев Р.В., Шамшур Д.В. ФТТ **32**, 1, 122 (1990).
- [7] Прокофьева Л.В., Виноградова М.Н., Зарубо С.В. ФТП **14**, 11, 2201 (1980).
- [8] Прокофьева Л.В., Зарубо С.В., Насрединов Ф.С., Серегин П.П. Письма в ЖЭТФ **33**, 1, 14 (1981).
- [9] Кайданов В.И., Немов С.А., Зайцев А.М. ФТП **19**, 2, 268 (1985).

- [10] Немов С.А., Парфеньев Р.В., Шамшур Д.В. ФТТ **27**, 2, 589 (1985).
- [11] Вейс А.Н., Кайданов В.И., Немов С.А., Емелин С.Н., Ксендзов А.Я., Шалабутов Ю.К. ФТП **13**, 1, 185 (1979).
- [12] Вейс А.Н., Немов С.А. ФТП **15**, 6, 1237 (1981).
- [13] Равич Ю.И., Ефимова Б.А., Смирнов И.А. Методы исследования полупроводников в применении к халькогенидам свинца PbTe, PbSe, PbS. М. (1968). 384 с.
- [14] Немов С.А., Равич Ю.И. ФТП **22**, 8, 1370 (1988).
- [15] Немов С.А., Равич Ю.И., Зайцев А.М. ФТП **19**, 2, 268 (1985).
- [16] Кайданов В.И., Мельник Р.Б., Немов С.А. ФТП **13**, 5, 1011 (1979).